

## ОБЕСПЕЧЕНИЕ ТЕПЛОВЫХ РЕЖИМОВ

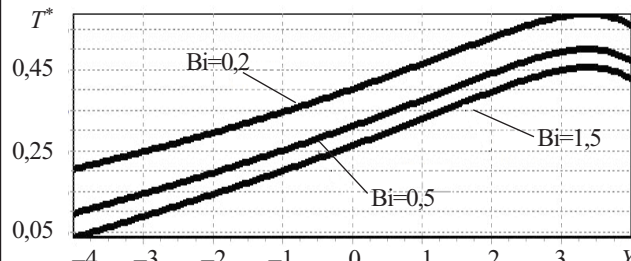


Рис. 4. Изменение избыточной безразмерной температуры  $T^*$  вдоль оси координат  $Y$  при  $X=0$  для различных значений критерия Био при  $D_n=2$

Графики на рис. 4 демонстрируют влияние теплоотдачи на распределение температуры при указанных исходных данных. Здесь видно, что с увеличением критерия Био температура убывает.

\*\*\*

Таким образом, в настоящей работе решена граничная стационарная задача теплопроводности для

изотропной полосы с инородным включением прямоугольной формы, на одной из границ которой осуществляется конвективный теплообмен с внешней средой, а другая нагревается тепловым потоком.

### ИСПОЛЬЗОВАННЫЕ ИСТОЧНИКИ

- Беляев Н. В., Рядно А. А. Методы теории теплопроводности. Ч. I.—М.: Выш. шк., 1982.
- Саврук М. П., Зеленяк В. М. Двовимірні задачі термопружності для кусково-однорідних тіл з тріщинами: монографія.—Львів: Растр-7, 2009.
- Подстригач Я. С., Ломакин В. А., Коляно Ю. М. Термоупругость тел неоднородной структуры.—М.: Наука, 1984.
- Коляно Ю. М. Методы теплопроводности и термоупругости неоднородного тела.—Киев: Наукова думка, 1992.
- Корн Г., Корн Т. Справочник по математике для научных работников и инженеров. М.: Наука, 1977.
- Коляно Ю. М., Кричевец Ю. М., Гаврыш В. И. Уравнение теплопроводности для элементов микроэлектроники.—Часть II // Радиоэлектронное материаловедение.—Львов, 1989.—С. 175—183.

*К. т. н. Г. Н. ШИЛО, Е. В. ОГРЕНИЧ,  
к. т. н. Н. П. ГАПОНЕНКО*

Украина, Запорожский национальный технический университет  
E-mail: gshilo@zntu.edu.ua, chipmob@gmail.com

Дата поступления в редакцию  
19.07.20010 г.

Оппонент к. т. н. В. Е. ТРОФИМОВ  
(ОНПУ, г. Одесса)

## ПРОЕКТИРОВАНИЕ РАДИАТОРОВ С ОПТИМАЛЬНЫМИ МАССОГАБАРИТНЫМИ ПАРАМЕТРАМИ

*Предложенный метод может использоваться для проектирования любых ребристых радиаторов и приводит к снижению массы более чем в 2,5 раза при увеличении объема в 1,5 раза.*

Мощные полупроводниковые приборы, которые широко применяются в преобразовательной технике и в выходных каскадах систем управления, имеют ограниченную допустимую температуру  $p-n$ -переходов [1]. Обычно эти приборы очень компактны и имеют высокое тепловое сопротивление между корпусом прибора и окружающей средой. Для обеспечения их теплового режима при значительных уровнях мощности разработчики радиоаппаратуры обычно используют радиаторы. Существует большое количество радиаторов [2, 3], отличающихся типом оребрения (ребристые, штыревые, проволочные, гофрированные) и формой основания (пластина, цилиндр).

В [4] показано, что при оптимальном распределении температуры вдоль теплоотводящих элементов радиаторов возможно значительное уменьшение их массы и габаритов. Возможность уменьшения массы и объема ребристых радиаторов показана в [5, 6], однако оптимизация проводилась при заданной толщине ребер и, кроме того, в использованных моделях

не учитывался трехмерный характер температурного поля в основании радиатора. При расчете тепловых режимов радиаторов использовались граничные условия 3-го рода и приближенные соотношения для коэффициентов теплоотдачи.

Существенное увеличение точности расчетов можно получить при использовании средств инженерного проектирования [7—9], позволяющих моделировать распределение температуры в сложных конструкциях устройств различного применения. В сочетании с алгоритмами оптимизации это открывает путь к разработке методов проектирования радиаторов, учитывающих любые конструктивные и технологические ограничения.

Целью настоящей работы является разработка методов проектирования ребристых радиаторов с оптимальными массогабаритными параметрами на основе использования средств инженерного проектирования.

### Тепловая модель ребристого радиатора

Построение модели радиатора в среде инженерного проектирования делится на этапы:

- создание трехмерной модели твердого тела по заданным размерам;
- задание теплофизических параметров материала радиатора и параметров теплоносителя;

## ОБЕСПЕЧЕНИЕ ТЕПЛОВЫХ РЕЖИМОВ

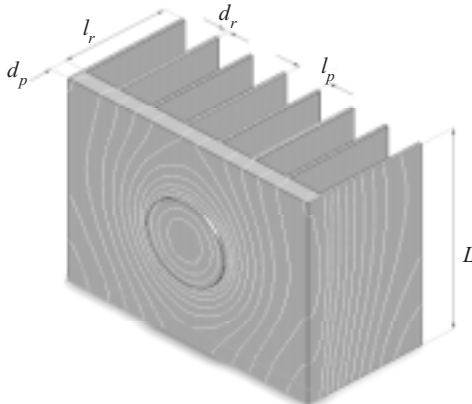


Рис. 1. Тепловая модель ребристого радиатора:  
 $d_r$ ,  $l_r$  — толщина и длина ребра;  $l_p$  — расстояние между ребрами;  
 $d_p$  — толщина основания;  $L$  — ширина радиатора

— определение границ области решения задачи, задание начальных и граничных условий;

— построение и оптимизация расчетной сетки в пределах области решения задачи [7, с. 386—391].

При построении модели приняты следующие допущения:

— не учитывается шероховатость поверхности радиатора;

— размеры межреберных участков, толщина и длина всех ребер одинаковы;

— в области контакта основания полупроводникового прибора и радиатора тепловой поток постоянен;

— коэффициент теплопроводности материала радиатора не зависит от температуры.

Тепловая модель ребристого радиатора, построенная с учетом принятых допущений, показана на рис. 1. (Моделирование проводилось в среде Siemens NX, модуль NX. Электронные системы охлаждения. Построенная модель позволяла учесть трехмерный характер температурного поля, что отражено на рисунке. Здесь белыми линиями показаны изотермы, черной — область контакта полупроводникового прибора и основания радиатора.)

Для решения поставленной оптимизационной задачи необходима математическая модель зависимости теплового сопротивления  $R_t$  радиатора от размеров его элементов. Для ее создания исследовалась зависимость между длиной межреберного участка и толщиной основания радиатора при заданных значениях остальных размеров и величины теплового сопротивления. График такой зависимости показан на рис. 2, где заштрихована область работоспособности

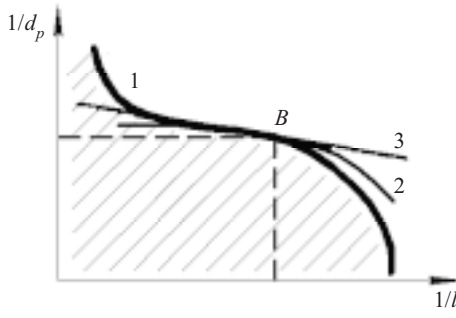


Рис. 2. Формирование области работоспособности

сти, в которой обеспечивается необходимый тепловой режим источника тепла.

Искомая математическая модель при аппроксимации границ области работоспособности 1 эллипсоидом 2 в граничной точке  $B$  имеет вид

$$R_t = \sum_{i=1}^5 c_i x_i^2, \quad (1)$$

где  $c_j$  — коэффициенты;

$$x_1 = 1/d_p; x_2 = 1/l_p; x_3 = 1/d_r; x_4 = 1/l_r; x_5 = 1/L.$$

Коэффициенты модели  $c_j$  находились из условия тождества касательных гиперплоскостей к гиперповерхностям области работоспособности и модели (1). Уравнение касательной гиперплоскости к границам области работоспособности (касательная 3 на рис. 2) может быть записано в виде

$$R_t = a_0 + \sum_{i=1}^5 a_i x_i, \quad (2)$$

$$\text{где } a_0 = R_{tb} - \sum_{i=1}^5 a_i x_{bi};$$

$a_i$  — линейные коэффициенты разложения функции  $R_t$  в ряд Тейлора,  $a_i = \left. \frac{\partial R_t}{\partial x_i} \right|_{x_b}$ ;

$x_{bi}$  — координаты граничной точки области работоспособности,  $X_{bi} = \{x_{b1}, \dots, x_{bn}\}$ ;

$R_{tb}$  — гранично-допустимое входное тепловое сопротивление радиатора.

Коэффициенты  $a_i$  находятся численным дифференцированием в процессе моделирования с помощью средств инженерного проектирования. Сравнение выражений (1) и (2) позволяет установить связь между коэффициентами  $a_i$  и  $c_i$ :

$$c_i = \frac{R_t}{R_{tb} - a_0} \frac{a_i}{x_{bi}}. \quad (3)$$

Полученные соотношения позволяют однозначно установить коэффициенты эллипсоидной модели и могут использоваться при оптимизации размеров элементов конструкций радиатора с учетом стратегий оптимизации.

### Оптимизация массогабаритных параметров радиаторов

Оптимизацию массогабаритных параметров ребристых радиаторов обычно проводят по стратегиям минимизации массы ( $M$ -стратегия) и минимизации объема ( $V$ -стратегия).  $M$ -стратегия может интерпретироваться как стратегия минимальной стоимости, поскольку она определяет расход материала.  $V$ -стратегию можно использовать для оценки качества теплоотвода, если считать, что качество теплоотвода обратно пропорционально объему. Оптимальное соотношение цена/качество можно определять, используя массогабаритный показатель в виде произведения массы радиатора на его объем ( $MV$ -стратегия).

Целевая функция  $M$ -стратегии оптимизации радиатора имеет вид

$$m = \rho L [(n-1)d_p l_p + n d_r l_r + n d_p d_r] \rightarrow \min,$$

где  $\rho$  — плотность материала радиатора;

$n$  — количество ребер.

## ОБЕСПЕЧЕНИЕ ТЕПЛОВЫХ РЕЖИМОВ

С учетом модели (1) целевая функция приобретает вид

$$m = \rho \frac{1}{x_5} \left( \frac{n-1}{x_1 x_2} + \frac{n}{x_3 x_4} + \frac{n}{x_1 x_3} \right) \rightarrow \max. \quad (4)$$

Оптимизационную задачу решаем при ограничении  $R_t \leq R_{tb}$ . (5)

Решение оптимизационной задачи проводится методом множителей Лагранжа. Необходимость использования при этом выражений (4) приводит к сложной системе нелинейных уравнений. Для упрощения процедуры оптимизации используется гиперболическая модель весовой функции

$$G_a(x) = \sum_{i=1}^5 \frac{g_i}{x_i}. \quad (6)$$

Входящие в это выражение коэффициенты  $g_i$  определяются из условия параллельности касательных гиперплоскостей к гиперповерхностям (4) и (6)

$$b_i = \left. \frac{\partial m}{\partial x} \right|_{x_b}, \quad g_i = -b_i x_{bi}^2,$$

где  $b_i$  — линейные коэффициенты разложения функции (4) в ряд Тейлора.

Вспомогательная функция в методе множителей Лагранжа для  $M$ -стратегии записывается в виде

$$L(\lambda) = \sum_{i=1}^5 \frac{g_i}{x_i} + \lambda \sum_{i=1}^5 c_i x_i^2. \quad (7)$$

Оптимальное значение параметров достигается при

$$\frac{\partial L(\lambda)}{\partial x_i} = 0, \quad i = \overline{1, n}.$$

В результате составляются уравнения вида

$$-\frac{g_i}{x_i^2} + 2\lambda c_i x_i = 0, \quad i = \overline{1, n}. \quad (8)$$

Решение системы уравнений (1) и (8) приводит к оптимальным при  $M$ -стратегии параметрам радиатора:

$$x_i = \sqrt[3]{\frac{g_i}{c_i}} \cdot \sqrt{R_{tb} / \sum_{i=1}^5 \sqrt[3]{c_i \cdot g_i^2}}, \quad i = \overline{1, n}. \quad (9)$$

Целевая функция  $V$ -стратегии оптимизации радиатора имеет вид

$$V = L(l_r + d_p)(d_p n + l_p(n-1)) \rightarrow \min.$$

Используя преобразования (6)–(8), можно также прийти к выражению (9). Это позволяет использовать в процедурах оптимизации массы и объема одинаковые оптимизационные соотношения. Отличаются эти процедуры только выражением для целевой функции.

Целевая функция  $MV$ -стратегии содержит произведение массы и объема радиатора, что повышает показатели степени переменных. Это учитывается в модели весовой функции

$$G_a(x) = \sum_{i=1}^5 \frac{g_i}{x_i^2}, \quad (10)$$

где  $g_i = -0,5 b_i x_{bi}^3$ ;

$b_i$  — линейные коэффициенты разложения произведения функций  $m$  и  $V$  в ряд Тейлора.

Тогда оптимальные размеры элементов конструкции радиатора в  $MV$ -стратегии устанавливаются соотношениями

$$x_i = \sqrt[4]{\frac{g_i}{c_i}} \cdot \sqrt{R_{tb} / \sum_{i=1}^5 \sqrt[3]{c_i \cdot g_i}}, \quad i = \overline{1, n}. \quad (11)$$

Размеры, определенные с помощью соотношений (9) и (11), зависят от положения граничной точки области работоспособности. Поэтому оптимальные значения размеров радиатора определяются по следующему итерационному алгоритму.

Шаг 1. Определяются начальные размеры радиатора. Используются известные процедуры выбора и расчета радиаторов (например, [2]).

Шаг 2. Определяются параметры моделей (1), (2) и (6) или (10).

Шаг 3. Определяются оптимальные значения размеров элементов конструкции радиаторов с использованием выражений (9) или (11).

Шаг 4. Проверяется условие

$$\left| \frac{R_t^{(i)} - R_{tb}}{R_{tb}} \right| \leq \epsilon,$$

где  $\epsilon$  — заданная погрешность вычислений. Если условие не выполняется, то — переход на шаг 2. Иначе — конец алгоритма.

Предложенный алгоритм позволяет проектировать ребристые радиаторы с одинаковыми размерами однотипных элементов конструкции. Такие радиаторы используются для упрощения технологического процесса их изготовления. При этом разработанный алгоритм является универсальным в том смысле, что могут быть сняты или введены ограничения на любые размеры элементов конструкции. При этом изменяется только количество переменных  $n$ . Алгоритм может использоваться и при проектировании других типов радиаторов, например пластинчато-штыревых и радиаторов с цилиндрическими ребрами. Особенности этих радиаторов учитываются в выражениях для весовых функций.

### Применение метода

Особенность применения метода рассмотрим на примере ребристого радиатора из алюминиевого сплава Ад2 с допустимым входным тепловым сопротивлением  $R_{tb} = 2,73$  К/Вт для источника тепла диаметром 28 мм. Мощность источника  $P = 13,3$  Вт, температура окружающей среды  $t_c = 40^\circ\text{C}$ , коэффициент черноты поверхности радиатора  $\epsilon = 0,91$ . Радиатор расположен в воздушной среде при нормальном атмосферном давлении. Режим движения теплоносителя — свободная конвекция. В качестве начального приближения используем размеры стандартного радиатора. Рассмотрим  $M$ -,  $V$ - и  $MV$ -стратегии.

Предложенный алгоритм отличается высокой эффективностью, обеспечивая сходимость итерационного процесса за несколько итераций. Для оценки сходимости алгоритма может служить зависимость массы радиатора  $m$  от количества итераций  $k$  в

## ОБЕСПЕЧЕНИЕ ТЕПЛОВЫХ РЕЖИМОВ

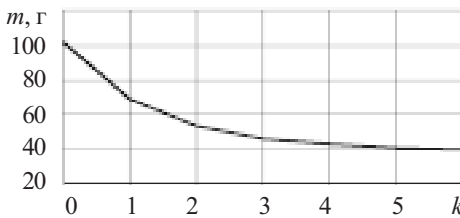


Рис. 3. Зависимость массы радиатора  $m$  от количества итераций  $k$  в  $M$ -стратегии

$M$ -стратегии, показанной на рис. 3. Из рисунка видно, что уже при 5—7 итерациях процесс оптимизации может быть завершен.

Оптимальные размеры элементов конструкции и массогабаритные показатели радиатора, полученные при применении различных стратегий, а также стандартного радиатора представлены в таблице.

Как видно из таблицы, от выбора стратегии существенно зависят и размеры ребер и участков основания, и массогабаритные характеристики радиатора. По сравнению со стандартным радиатором  $M$ -стратегия проектирования приводила к уменьшению толщины основания и ребер более чем в 3 раза. При этом увеличивалась длина ребер и участков основания. Подобным образом изменялись размеры и при  $MV$ -стратегии. Размеры радиаторов в  $V$ -стратегии мало отличались от размеров стандартного.

Как и следовало ожидать, наименьшую массу обеспечивает  $M$ -стратегия проектирования: по сравнению со стандартным радиатором, масса уменьшилась в 2,5 раза. При этом объем увеличился в 1,5 раза. К этим показателям приводит и  $MV$ -стратегия. При  $V$ -стратегии показатели незначительно лучше, чем у стандартного радиатора. Это означает, что стандартные радиаторы по своим параметрам близки к радиаторам минимально возможного объема.

В исследованном радиаторе размеры однотипных элементов конструкции принимались одинаковыми. Снятие этих ограничений позволит улучшить массо-

габаритные параметры на 20—30%. При этом количество переменных в алгоритме возрастет до  $4n-1$ .

Предложенные метод и алгоритм при изменении выражений для целевой функции могут использоваться для проектирования любых радиаторов, в том числе пластиначато-штыревых и радиаторов с цилиндрическими ребрами.

### ИСПОЛЬЗОВАННЫЕ ИСТОЧНИКИ

1. Полупроводниковые приборы. Транзисторы. Справочник / Под ред. В. М. Петухова.—М.: Радио и связь, 1993.
2. Скрипников Ю. Ф. Радиаторы для полупроводниковых приборов.—М.: Энергия, 1973.
3. Роткоп Л. Л., Спокойный Ю. Е. Обеспечение тепловых режимов при конструировании радиоэлектронной аппаратуры.—М.: Советское радио, 1976.
4. Ройзен Л. И., Дулькин И. Н. Тепловой расчет обработанных поверхностей / Под. ред. В. Г. Фастовского.—М.: Энергия, 1977.
5. Цесарский И. Б., Мотин Э. А. Методика расчета пластиначатых радиаторов минимального веса для полупроводниковых приборов // Вопросы радиоэлектроники. Сер. ТРТО.—1970.—Вып. 2.—С. 42—49.
6. Мотин Э. А. Цесарский И. Б. Методика расчета пластиначатых радиаторов минимального объема // Вопр. радиоэлектроники. Сер. ТРТО.—1971.—Вып. 3.—С. 74—76.
7. Алямовский А. А. Инженерные расчеты в SolidWorks Simulation.—М.: ДМК Пресс, 2010.
8. Каплун А. Б., Морозов Е. М., Олферьева М. А. ANSYS в руках инженера: Практическое руководство.—М.: Едиториал УРСС, 2003.
9. Гончаров П. С., Ельцов М. Ю., Корщиков С. Б. и др. NX для конструктора-машиностроителя.—М.: ДМК Пресс, 2010.

### НОВЫЕ КНИГИ

#### Мелешин В. И., Овчинников Д. А. Управление транзисторными преобразователями электроэнергии.—М.: Техносфера, 2011.—576 с.

В книге изложены принципы управления транзисторными преобразователями электрической энергии при их работе в различных импульсных режимах. Приведены схемотехнические решения и показаны особенности работы преобразователей, широко применяемых в различных системах электропитания. Показаны последние достижения в данной области техники, позволяющие управлять преобразователями с помощью как аналоговых, так и цифровых средств. Большое внимание уделено построению систем управления, использующих различные типы контроллеров и микроконтроллеров. Показано применение DSP-процессоров для различного рода преобразователей и приложений. Рассмотрено построение некоторых систем электропитания высокой надежности.

Книга будет полезна студентам, изучающим силовую электронику и принципы управления преобразователями, а также аспирантам и специалистам, изучающим и разрабатывающим устройства и системы преобразовательной техники.



НОВЫЕ КНИГИ

